

地震時すべりを表現する等価線形化手法に関する検討

熊本大学工学部 学正員 ○吉田 克明
 同上 正員 秋吉 韶
 八代高専 正員 清田 邦彦
 熊本大学工学部 学正員 大部薦 和久

1. まえがき 地震時のすべりを伴う大変形は構造物に大きな損傷を生じる要因であるが、その適正な予測のための解析手法の確立が望まれている。構造物のすべりによって、二点間の地盤動が正弦波の場合にはいくつかの研究があり、また入力が実地盤動の場合でも解析対象が平面内の剛体のすべりについてはかなりの報告がある。しかし管路のように長大な構造物のすべりを不規則波に対して解析することは、それほど容易ではない。その報告は少い。本研究は、地盤動をフーリエ変換により単弦波に分解し、それらの波形を提案するすべりの等価線形化手法で、すべりの有無を交互に組合せし、すべりの応答を得ようとするものであるが高速フーリエ変換を用いることで計算時間が大幅に短縮する。

2. 解析手法 ここで解析の対象とするモデルは、慣性力に左右されるモデルⅠと、慣性力は無視しうるモデルⅡの管路である。モデルⅡ：質量を無視すると、管路の運動は次式で表わせる。

$$EA \frac{d^2Y}{dx^2} + T_F = 0 \quad \cdots \cdots (1)$$

ここで、 F 、 A ：管路のヤニゲ率、断面積、 Y ：管路の軸方向変位、 $T_F = T_0 \operatorname{sgn}(\dot{S})$ ：周面摩擦力、 \dot{S} ：すべり速度。

すべり S は、図2を参照すると

$$\dot{S} = X - Y \quad (X: \text{地盤動変位}) \quad \cdots \cdots (2)$$

ここで、 \dot{S} および X を管盤波動と参考、次式のように書く。

$$\dot{S} = S_0 \exp(i(\omega t - kx + \phi)) \quad (k = \omega/c) \quad \cdots \cdots (3)$$

$$X = X_0 \exp(i(\omega t - kx)) \quad (C: \text{伝播速度}) \quad \cdots \cdots (4)$$

ここで、図2、3を参考に S を等価線形化すると、

$$T_F = T_0 \operatorname{sgn}(\dot{S}) = 2\pi T_0 \gamma_F \sim 2\pi T_0 \left(\frac{4\gamma_S}{\pi c \omega S_0} \right) \dot{S} \quad \cdots \cdots (5)$$

ただし、 T_0 ：管径、 γ_F 、 γ_S ：摩擦応力。式(1)～(5)を解くと

$$S_0 = \begin{cases} X_0 & : |X_0| < X_{cr} \\ \sqrt{|X_0|^2 - X_{cr}^2} & : |X_0| > X_{cr} \end{cases} \quad \cdots \cdots (6)$$

ただし、 $X_{cr} = 8T_0\gamma_F c^2 / EA\omega^2$ （：すべり限界変位） $\cdots \cdots (7)$

故に、すべり時の管盤の軸方向変位 Y と歪 ϵ_Y は次式となる。

$$Y = X \quad (\because |X_0| < X_{cr}) \text{ 又は } X_{cr} \exp(i(\omega t - kx + \phi)) \quad \cdots \cdots (8)$$

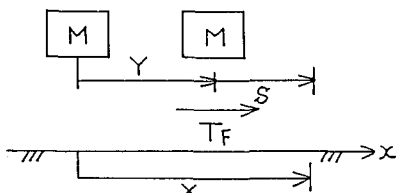
$$\epsilon_Y = \frac{dY}{dx} = -\dot{Y}/c \quad \cdots \cdots (9)$$

$$\phi = \tan^{-1} \left[(X_{cr} X_I + X_R S_0) / (X_{cr} X_R - X_I S_0) \right] \quad \cdots \cdots (10)$$

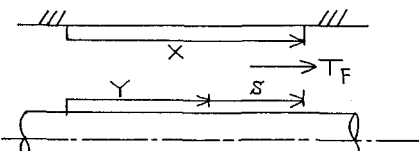
ただし、 X_R 、 X_I ：入力振幅 X の実数部、虚数部。

$\gamma = 2^\circ$ 、入力地盤動 $X(\omega)$ を高速フーリエ変換(FFT)すると

$$\bar{X}_m = \overline{X}(\omega_m) = \frac{1}{N} \sum_{m=0}^{N-1} X_m \exp(-i\omega_m t_m) \quad (m=0 \cdots, N-1) \quad \cdots \cdots (11)$$

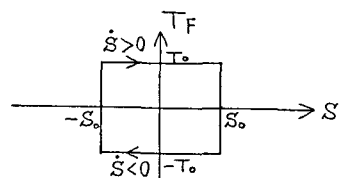
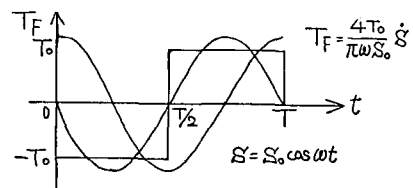


(a) モデル1



(b) モデル2

図1 解析対象モデル

図2 T_F (摩擦力) - S (すべり) 関係図3 T_F (摩擦力) の時刻歴

この $\bar{X}_k = \bar{X}(\omega_k)$ は先述の X_0 に、また式(8)の Y を管路のフーリエ振幅 $\bar{Y}_k = Y(\omega_k)$ と考えて

$$\bar{Y}_k = \begin{cases} \bar{X}_k & : |\bar{X}_k| < X_{ch}(\omega_k) \\ X_{ch} \exp(i\phi) & : |\bar{X}_k| > X_{ch}(\omega_k) \end{cases} \quad (12)$$

となるので、これを逆FFTして管路の時刻歴応答値とする。

$$Y(t_m) = \sum_{k=1}^{N-1} \bar{Y}_k \exp(i\omega_k t_m) \quad (13)$$

一方、モデル2における単弦波に対する鶴鉤の近似解があるが¹⁾、これは單弦調和波にならないので、本解析法に適用する場合は、式(11)よりはFFTよりすぐ、オベリの判定以降は多くの正弦・余弦関数の計算が必要となるため、本解析法と並較して数10~100倍もの計算時間となる。しかし、その詳細は紙面の都合上省略する。

3. 計算結果 入力の最大加速度を3gal、地盤波の伝播速度を $C = 300 \text{ m/sec}$ に固定して、 $A_{CR} = 2\pi f_0 C^2 / EA$ (gal) を変化させたときの検証を行った。図4はモデル1の場合で、剛体と地盤の最大加速度の比を示すが、剛体線形化手法と鶴鉤の方法とともに、 A_{CR} が入力の最大加速度とほぼ同じ値でオベリが発生し、 A_{CR} の低下につれて \bar{Y}_{max} が満足され、ほぼ妥当な結果となる。图5

一方、図6~9は人工地震波(卓越振動数=3Hz, 0~10Hzの三角形分布スペクトル)をモデル2の管軸に沿って入射させたときの管軸変位Yと管歪EYを、周囲の土とのそれらとの比をと、示したものである。管路の応答値の傾向は、正弦波(图5)と相似であるが、地盤波の継続時間を $T = 20.48 \text{ sec}$ と長くすると、各振動数ごとにパワーハンデスするため、オベリの発生が A_{CR} の相当大きい場合しか起らないという結果となり現実的なものといえない。一方、 $T = 2.56 \text{ sec}$ と短いときは正弦波の傾向に近づき、結果は改善される。その他は構造時にゆずる。

参考文献 1)鶴鉤・山口: 土質工学論文報告集、Vol.19、No.4、1979、2)鶴鉤: 土木学会論文集第272号、1978、3)例えは N.Mostaghel 他2名: EESD、Vol.11、1983、4)秋吉・渕田: 土木学会論文報告集、第334号、1983

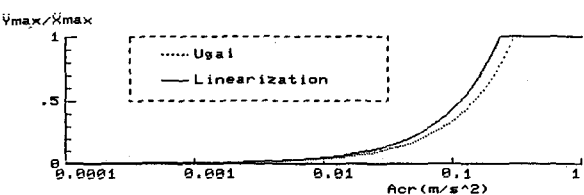


図4 正弦波入力に対する剛体と地盤の最大加速度比 (モデル1)

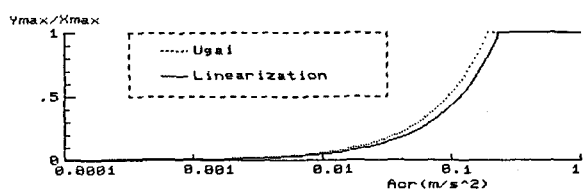


図5 正弦波入力に対する管路と地盤の最大加速度比 (モデル2)

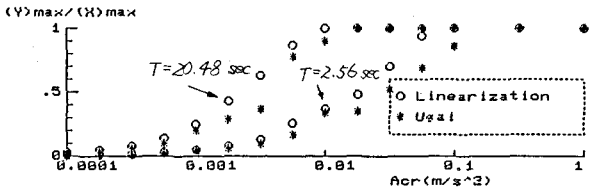


図6 不規則波入力に対する管路と地盤の最大変位比 (モデル2)

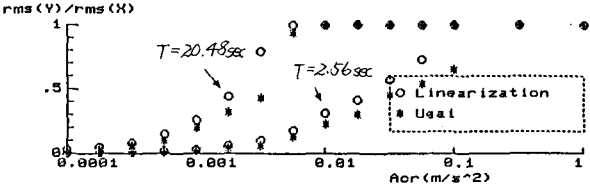


図7 不規則波入力に対する管路と地盤の rms 変位比 (モデル2)

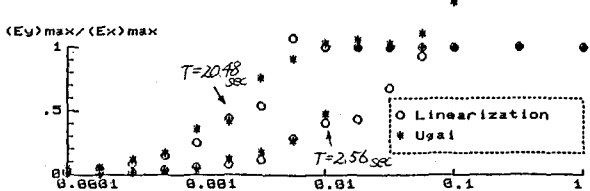


図8 不規則波入力に対する管路と地盤の最大歪比 (モデル2)

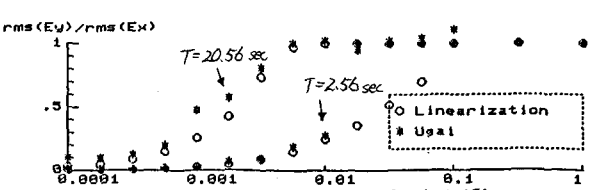


図9 不規則波入力に対する管路と地盤の rms 歪比 (モデル2)